

セルオートマトンを用いた雲のシミュレーションとその表示

2 Z C - 6

土橋宜典 西田友是[†] 沖田豪広島市立大学情報科学部 [†]東京大学理学部

1. はじめに

映画やコマーシャルフィルムなどで魅力的な雲の動きを捉えた映像が用いられることが多い。近年、そのような映像をコンピュータグラフィックスにより再現する試みが多く行われており、大気流体の数値シミュレーションを行う手法やパーティクルシステムによる簡易シミュレーションによる手法が提案されている[1][2]。しかし、従来法では、処理が複雑であり、計算時間を多く必要とするという欠点を有する。

本稿では、セルオートマトンを用いた雲のアニメーションを作成する手法を提案する。雲の動きは簡単な規則により表現され、少ない計算量でシミュレーションを行える。さらに、ビルボード処理[3]によりその結果の高速表示を行う。

2. 雲の動きのシミュレーション

2.1 セルオートマトンによる雲の成長モデル[4]

提案手法では、Nagelらによって提案されている雲の成長モデル[4]を利用する。このモデルでは、シミュレーション領域を格子状に分割する。各格子点には、水蒸気の有無(*hum*)、水蒸気から雲への相変化の判定(*act*)、雲の有無(*cld*)を表す3つの変数が割り当てられ、1または0の値を取り。これらの変数の時刻 $t+1$ での値は時刻 t での値を用い、式(1)から(3)に示す遷移規則により計算される。

$$\begin{aligned} act(i,j,k,t+1) = & \neg act(i,j,k,t) \&& hum(i,j,k,t) \\ & \&& (act(i+1,j,k,t) \parallel act(i-1,j,k,t) \parallel act(i,j+1,k,t) \\ & \parallel act(i,j-1,k,t) \parallel act(i,j,k+1,t) \parallel act(i,j,k-1,t)) \\ & \parallel act(i+2,j,k,t) \parallel act(i-2,j,k,t) \parallel act(i,j+2,k,t) \\ & \parallel act(i,j-2,k,t) \parallel act(i,j,k-2,t)) \end{aligned} \quad (1)$$

$$cld(i,j,k,t+1) = cld(i,j,k,t) \parallel act(i,j,k,t) \quad (2)$$

$$hum(i,j,k,t+1) = hum(i,j,k,t) \&& \neg act(i,j,k,t) \quad (3)$$

適切な初期状態からこれらの規則を逐次適用することで雲の成長を表現できる。しかし、この方法では、一旦、*cld* が 1 となった格子点はその後、変化が起こらない。すなわち、雲の消滅が起こらない。また、得られる結果は 0/1 であるため、リアルな雲を表示することができない。そこで、これらの点を解決する手法を以下に述べる。

2.2 雲の消滅の表現

雲の消滅を表現するため、新たに変数 *ext* を導入する。*ext* の遷移規則は *act* に準じて式(4)で定義する。

$$\begin{aligned} ext(i,j,k,t+1) = & \neg ext(i,j,k,t) \&& cld(i,j,k,t) \\ & \&& (ext(i+1,j,k,t) \parallel ext(i-1,j,k,t) \parallel ext(i,j+1,k,t) \\ & \parallel ext(i,j-1,k,t) \parallel ext(i,j,k+1,t) \parallel ext(i,j,k-1,t)) \\ & \parallel ext(i+2,j,k,t) \parallel ext(i-2,j,k,t) \parallel ext(i,j+2,k,t) \end{aligned}$$

Animation and Fast Rendering of Clouds Using Cellular Automaton

Y. Dobashi, [†]T. Nishita, T. Okita
Hiroshima City University, [†]The University of Tokyo

$$\parallel ext(i,j-2,k,t) \parallel ext(i,j,k-2,t)) \quad (4)$$

次に、*ext* を用いて、雲を消滅させるため、式(2)で表される *cld* の規則を式(5)に示すよう変更する。

$$cld(i,j,k,t+1) = \neg ext(i,j,k,t) \&& (cld(i,j,k,t) \parallel act(i,j,k,t)) \quad (5)$$

式(4)および(5)から、*ext* は *cld=1* である格子を *cld=0* に変更しながら伝播する。よって、*act* と *ext* により雲の生成・消滅を表現できる。しかし、*cld* の値が頻繁に変更され、雲の生成・消滅が短い周期で繰り返されると不自然な雲の動きとなってしまう。これを避けるため、雲の寿命 T_{ext} を導入する。すなわち、一旦、*cld=1* となつた格子点は、それ以後 T_{ext} ステップの間、状態変化は起こらないとする。これにより、自然な動きを表現できる。

2.3 シミュレーションの開始と雲の動きの制御

シミュレーションを開始するために、各格子点の *hum*, *act*, *ext* の値を指定された確率に従ってランダムに 0 から 1 に変更する。また、シミュレーション途中においてもこれらの変数の値を 0 から 1 へ変更することで雲の動きを制御できる。例えば、雲を多く発生させたい領域には、*hum* が 1 となる確率を高く設定すればよい。このとき、全ての格子点についてその確率を指定することは煩雑な作業を要するため、指定されたいつかの代表点についてのみ確率を指定する。各格子点の確率は代表点の確率から補間により求める。代表点の位置や確率を時間的に変化させることで雲の大まかな動きを制御できる。

2.4 連続な分布の算出

連続な雲の密度分布は各格子点にメボールを配置することで算出する。メボールは中心ほど高くなる密度関数を割り付けた球である[5]。任意の点 \mathbf{x} の密度 $\rho(\mathbf{x})$ はメボールの密度関数を用いて次式により表現する。

$$\rho(\mathbf{x}) = \sum_{i,j,k \in \Omega(\mathbf{x})}^{n(\mathbf{x})} q_{i,j,k} f(|\mathbf{x} - \mathbf{x}_{i,j,k}|, D) \quad (6)$$

ここで、 $\mathbf{x}_{i,j,k}$ および $q_{i,j,k}$ は、それぞれ、格子点 (i, j, k) のメボールの中心座標および中心密度、また、 f は密度関数、 D は有効半径である。 $\Omega(\mathbf{x})$ は $|\mathbf{x} - \mathbf{x}_{i,j,k}| < D$ を満たす格子点の集合を表し、 $n(\mathbf{x})$ はその数である。有効半径 D はユーザにより指定する。中心密度 $q_{i,j,k}$ は式(7)により、0/1 の分布を平滑化することで算出する。

$$q_{i,j,k} = \frac{1}{n} \times \sum_{l,m,n \in \Omega(\mathbf{x}_{i,j,k})}^{n(\mathbf{x}_{i,j,k})} cld(l,m,n) \quad (7)$$

なお、中心密度の値が 0 のメボールは削除する。また、式(7)から $0 < q_{i,j,k} \leq 1$ となる。

3. ビルボード処理を用いた高速画像生成

ビルボード処理は、樹木の表示によく用いられ、樹木の変わりに、樹木のテクスチャをマッピングした多角形を表示することで計算時間を削減する手法である[3]。ここでは、雲の表示にこれを応用する。そのため、単一のメタポールの密度を積分した値とその透明度をもつテクスチャを計算する。これ

をメタポールの直径を一边とする正方形にマッピングしたビルボードを用意する。このビルボードを OpenGL の α ブレンディング機能により重ね書きすることで光の一次散乱を考慮した雲の色を計算する。これは、次の 2 段階の処理により計算する。すなわち、1)各メタポール中心に届く太陽光の強さを計算し、2)視点から見た雲の色を計算する。

3.1 ビルボード用テクスチャの計算

図 1 に示すように、メタポールを原点に配置し、 x 軸に垂直でテクスチャの各画素を通るレイを考える。このメタポールに単位強さの白色光が照射した場合、レイ方向へ散乱する光の強さはレイに沿ってメタポールの密度を積分した値に比例する。そこで、テクスチャの RGB 成分はレイに沿ってメタポールの密度関数を積分した値とする。すなわち、

$$R(i, j) = G(i, j) = B(i, j) = q \int_{x_{in}}^{x_{out}} f(r, D) dx \quad (8)$$

ここで、 x_{in} および x_{out} は、それぞれ、レイがメタポールに交差する点の x 座標であり、 r はレイ上の点と原点との距離である(図 1 参照)。また、単位強さの光がこのメタポールをレイに沿って通過するときに、減衰する割合をテクスチャの A 成分とする。これは、次式により計算できる。

$$A(i, j) = \exp(-\kappa R(i, j)) \quad (9)$$

ここで、 κ は雲粒子の減衰係数である。式(8)、(9)から、ビルボード用のテクスチャはメタポールの中心密度ごとに用意する必要があるが、本稿では中心密度を 32 段階に量子化し、32 個のテクスチャを用意した。

3.2 メタポールに届く太陽光の計算

太陽光は各メタポールに届くまでに雲粒子により減衰する。その減衰率はそのメタポールと太陽の間にあるメタポールの A 値を掛け合わせたものに等しい。よって、各メタポール中心に届く太陽光の強さは次の処理により求まる。

- 1) 視点を太陽位置に、視線を太陽方向と逆向きにし、平行投影に設定する。またカラーハッファ(以下、CB)の R 値を 1.0 に初期化しておく。
- 2) 太陽に近い順にメタポールを並び替える。
- 3) 各メタポールについて以下の手順を繰り返す。
 - a) ビルボードが太陽方向と垂直になるよう回転する。
 - b) ビルボードを描画する。ただし、CB 内の R 値にビルボードテクスチャの A 値を乗じながら描画する。
 - c) メタポール中心位置に対応する CB 内の画素の R 値

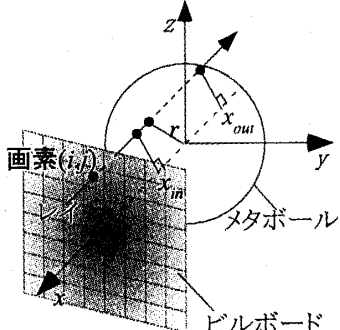


図 1 ビルボード用テクスチャの生成

を取り出し、太陽光の RGB 値を乗じる。この値がメタポールに届く光の RGB 成分 E_R, E_G, E_B となる。

3.3 視点から見た雲の色の計算

視点から見た雲の色は各メタポールに到達した光 E_R, E_G, E_B のうち、視点方向に散乱する光の RGB 成分 I_R, I_G, I_B を算出し、これを全て足し合わせることで求められる。このとき、 I_R, I_G, I_B は視点に到達するまでに雲粒子により減衰する。この減衰率は各メタポールと視点との間に存在するメタポールの A 値を掛け合わせたものとなる。よって、以下の手順により画像生成を行える。

- 1) 背景を描画する。
- 2) 視点から遠い順にメタポールを並び替える。
- 3) 各メタポールについて以下の処理を繰り返す。
 - a) メタポール中心と視点を結ぶベクトル v を求める。
 - b) ビルボードがベクトル v と垂直になるよう回転する。
 - c) 雲粒子の位相関数から E_R, E_G, E_B のうち、視点方向に散乱する成分 I_R, I_G, I_B を求める。
 - d) ビルボードテクスチャの RGB 値それぞれに I_R, I_G, I_B を乗じたテクスチャを用いてビルボードを描画する。このとき、CB 内の RGB 値にビルボードテクスチャの A 値を乗じながら描画する。

4. 適用例とまとめ

提案手法を用いて 15 秒間の雲のアニメーションを作成した。格子点数は $80 \times 80 \times 10$ である。図 2 にその一部を示す。時刻は(a)から(d)へと変化する。画像サイズは 400×300 である。リアルな雲の動きを表現できていることがわかる。1 フレームの平均画像生成時間は、富士通 FMV-6266 NS3/X (Pentium II 266MHz) を用いて 3 秒である。セルオートマトンを用いて雲の動きをシミュレーションし、OpenGL を用いてその結果を高速表示する手法を提案した。

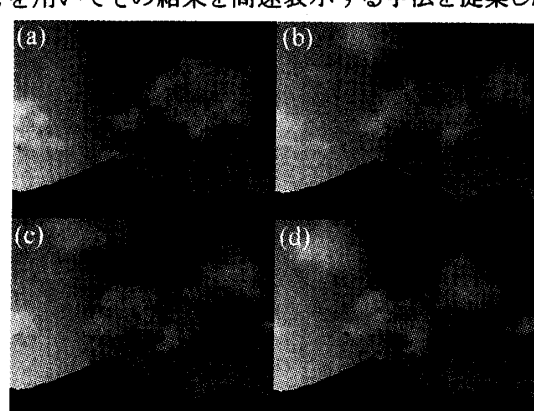


図 2 適用例

参考文献

- [1] JT Kajiya et. al: *Computer Graphics*, vol. 18, pp.165-174 (1984).
- [2] 菊地ら: 画像電子学会誌, 第 27 卷 4 号, 頁 317-326 (1998).
- [3] T. McReynolds et. al: Siggraph'97 Course Note 22, pp. 28-53 (1997).
- [4] N. Nagel, Physica A. 182, pp. 519-531 (1991).
- [5] G. Wyvill et. al.: Proc. CG International, pp.439-475 (1990).